



Dipartimento
Ingegneria Aerospaziale


Università di Napoli Federico II

ADAG
RESEARCH GROUP
www.dpa.unina.it/adag

Corso Manovre e Stabilità

Proprietà aerodinamiche e di equilibrio dell'ala

Docente
Fabrizio Nicolosi

Dipartimento di Ingegneria Aerospaziale
Università di Napoli "Federico II"
e.mail : fabrnico@unina.it



FORZE AERODINAMICHE

$$L = L(\rho_{\infty}, V_{\infty}, S, \alpha, \mu_{\infty}, a_{\infty})$$

$$D = D(\rho_{\infty}, V_{\infty}, S, \alpha, \mu_{\infty}, a_{\infty})$$

$$M = M(\rho_{\infty}, V_{\infty}, S, \alpha, \mu_{\infty}, a_{\infty})$$

$$C_L = \frac{L}{q_{\infty} S}$$

$$C_D = \frac{D}{q_{\infty} S}$$

$$C_M = \frac{M}{q_{\infty} S c}$$

Per dato corpo (dimensioni)

$$C_L = f_1(\alpha, Re, M_{\infty})$$

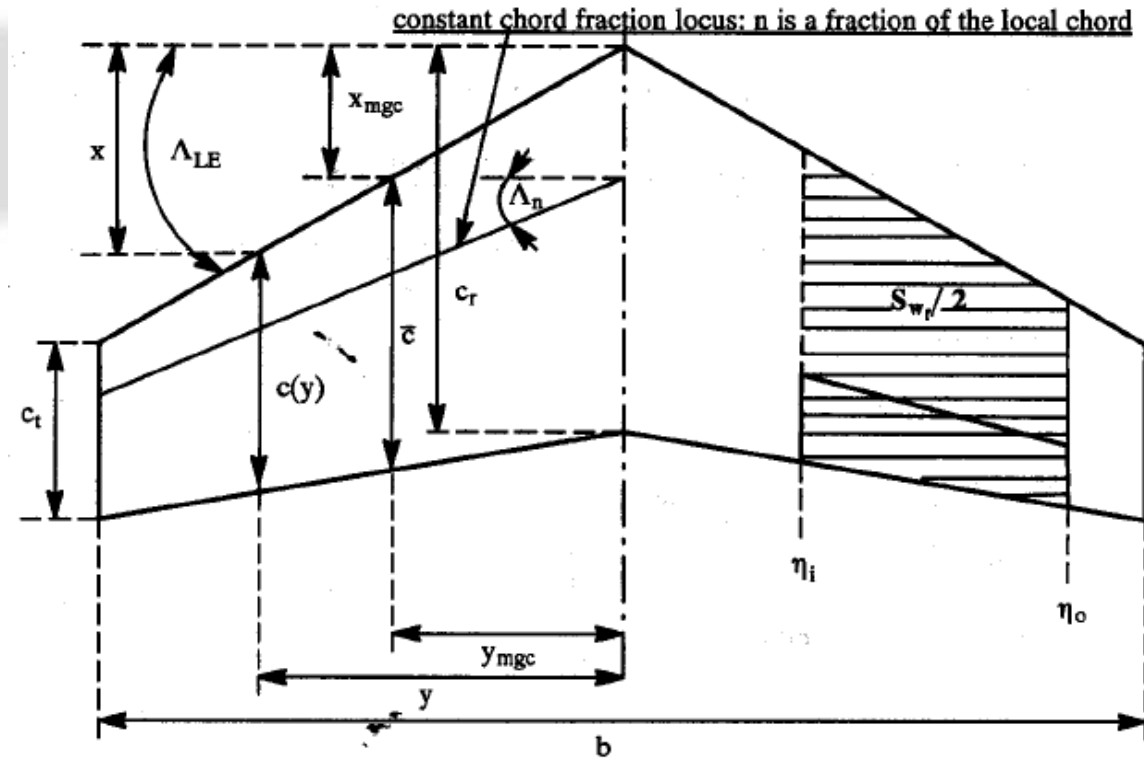
$$C_D = f_2(\alpha, Re, M_{\infty})$$

$$C_M = f_3(\alpha, Re, M_{\infty})$$



PARAMETRI ALA

$$\bar{c} = \frac{2}{S} \int_0^{b/2} c(y)^2 dy$$



Mean geometric chord: $\bar{c} = \frac{1}{S} \int_{-b/2}^{+b/2} c^2(y) dy$

Lateral location of the mgc, $y_{mgc} = \frac{1}{S} \int_{-b/2}^{+b/2} yc(y) dy$

ERRORE

FORMULA SU ROSKAM

PARAMETRI ALA

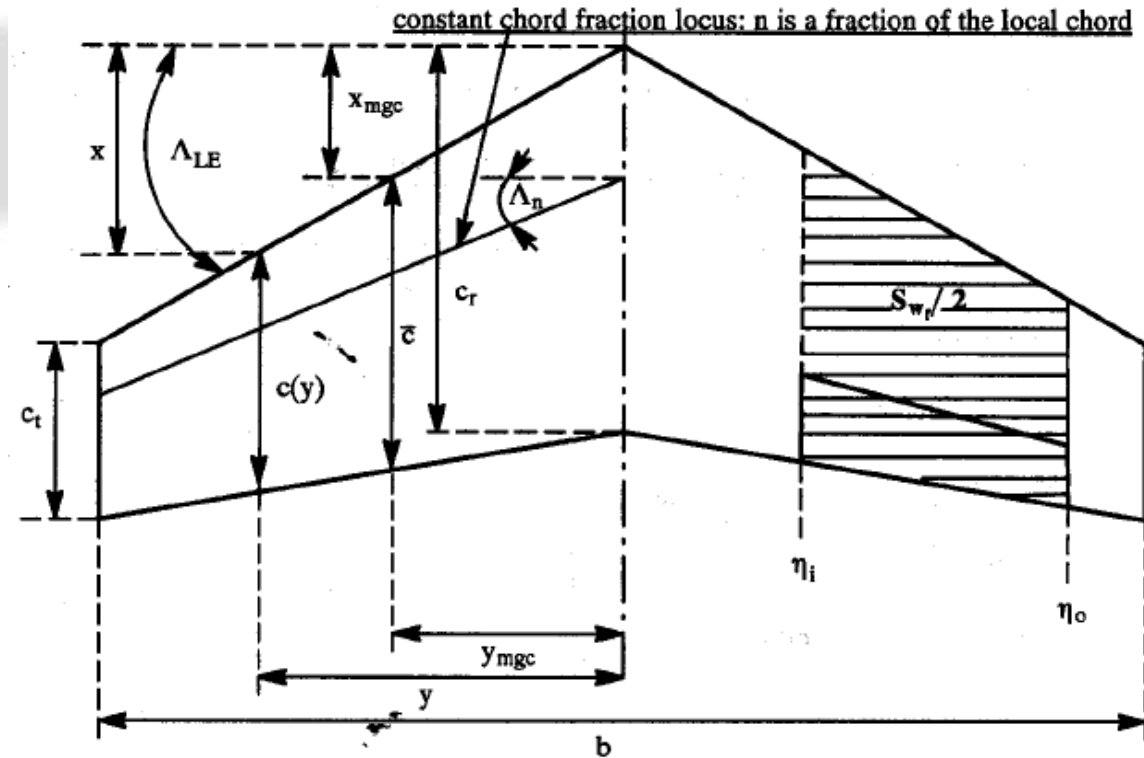
$$\bar{c} = \frac{2}{S} \int_0^{b/2} c(y)^2 dy$$

Per ala trapezoidale

Taper ratio, $\lambda = \frac{c_t}{c_r}$

Aspect ratio, $A = \frac{b^2}{S} = \frac{2b}{c_r(1 + \lambda)}$

Area, $S = \frac{b}{2} c_r (1 + \lambda)$

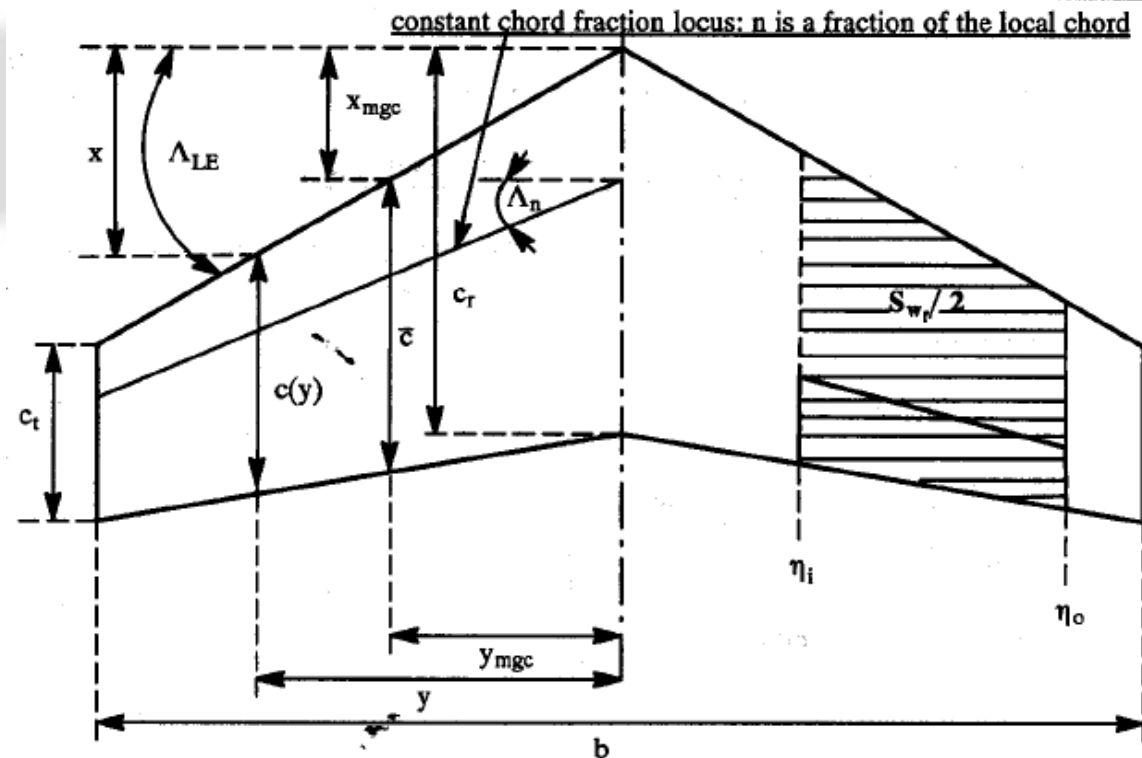


$$\bar{c} = \frac{2}{3} c_r \left(\frac{1 + \lambda + \lambda^2}{1 + \lambda} \right)$$

PARAMETRI ALA

$$\bar{c} = \frac{2}{S} \int_0^{b/2} c(y)^2 dy$$

Per ala trapezoidale



Lateral location of the mgc, $y_{mgc} = \frac{b(1 + 2\lambda)}{6(1 + \lambda)}$

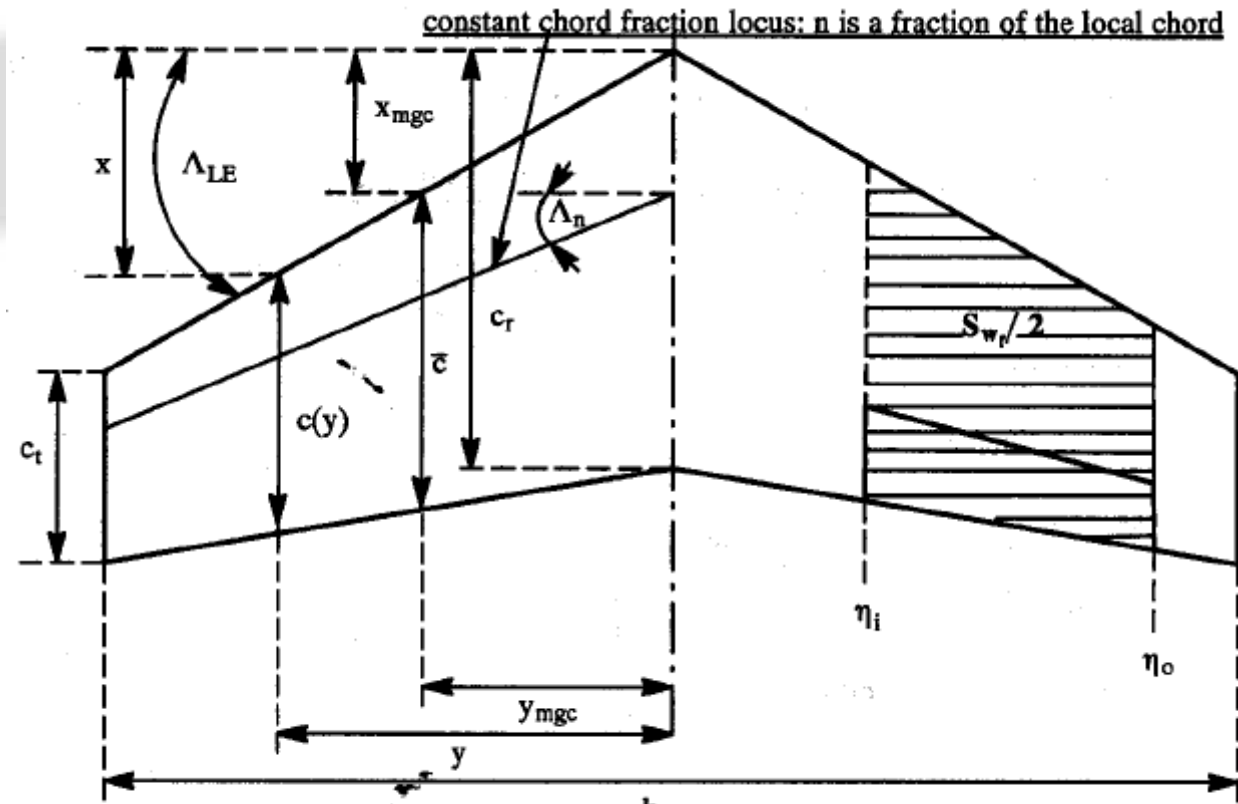
Longitudinal location of the mgc, $x_{mgc} = \frac{b(1 + 2\lambda)}{6(1 + \lambda)} \tan \Lambda_{LE}$

Sweep Angle of the n fraction locus: $\tan \Lambda_n = \tan \Lambda_{LE} - \frac{4n(1 - \lambda)}{A(1 + \lambda)}$

PARAMETRI ALA

$$\bar{c} = \frac{2}{S} \int_0^{b/2} c(y)^2 dy$$

Per ala trapezoidale



Longitudinal location of the mgc, $x_{mgc} = \frac{1}{S} \int_{-b/2}^{+b/2} xc(y)dy$

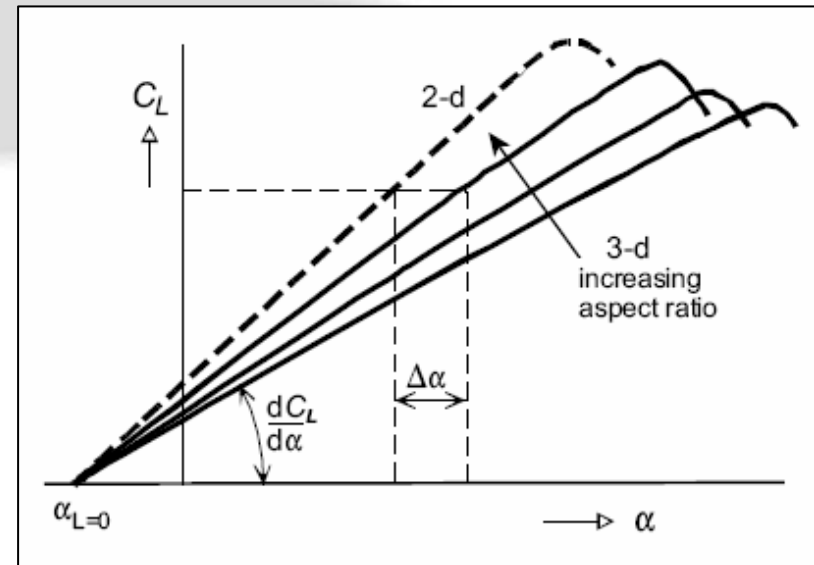
$$S_{w_t} = S \frac{(\eta_o - \eta_i)}{(1 + \lambda)} \left\{ 2 - (1 - \lambda)(\eta_i + \eta_o) \right\}$$

PENDENZA RETTA PORTANZA

$$CL_{\alpha} = \frac{Cl_{\alpha}}{1 + \frac{Cl_{\alpha}}{\pi \cdot AR}} \quad [1/rad]$$

Per ali non ellittiche

$$CL_{\alpha} = \frac{Cl_{\alpha}}{1 + \frac{Cl_{\alpha}}{\pi \cdot AR \cdot e_w}} \quad e_w = \frac{1}{(1 + \delta)}$$



Presentazione MS_04

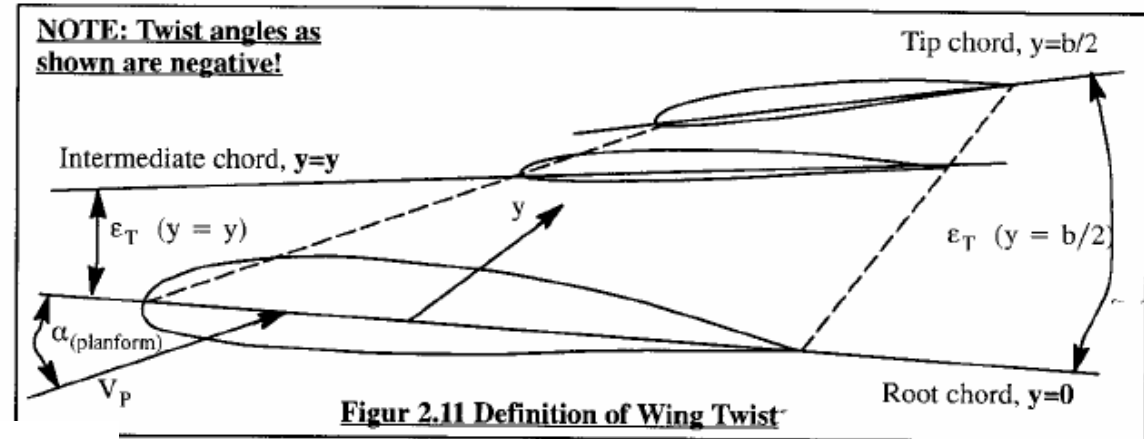
e_w è un fattore di amplificazione della resistenza indotta (anche incidenza indotta) rispetto all'ala ellittica

FORMULA generale NB: a sta per CL_{α} e a_0 sta per Cl_{α}

$$a_{comp} = \frac{a_0 \cos \Lambda}{\sqrt{1 - M_{\infty}^2 \cos^2 \Lambda + [(a_0 \cos \Lambda)/(\pi AR)]^2} + (a_0 \cos \Lambda)/(\pi AR)}$$

Proprietà aerodinamiche

Alfa zero LIFT



$$\alpha_{0L} = \frac{1}{S} \int_{-b/2}^{b/2} c(y) [\alpha_0(y) - \epsilon_T(y)] dy$$

Se sono presenti flap c'è un contributo aggiuntivo

$$\alpha_{oL} = \frac{1}{S} \int_{-\frac{b}{2}}^{+\frac{b}{2}} c(y) [\alpha_o(y) - \epsilon_t(y) + \Delta\alpha_o(y)] dy$$

$$\alpha_{oL} = \frac{2}{S} \int_0^{\frac{b}{2}} c(y) [\alpha_o(y) - \epsilon_t(y)] dy + \frac{S_f}{S} \Delta\alpha_o$$



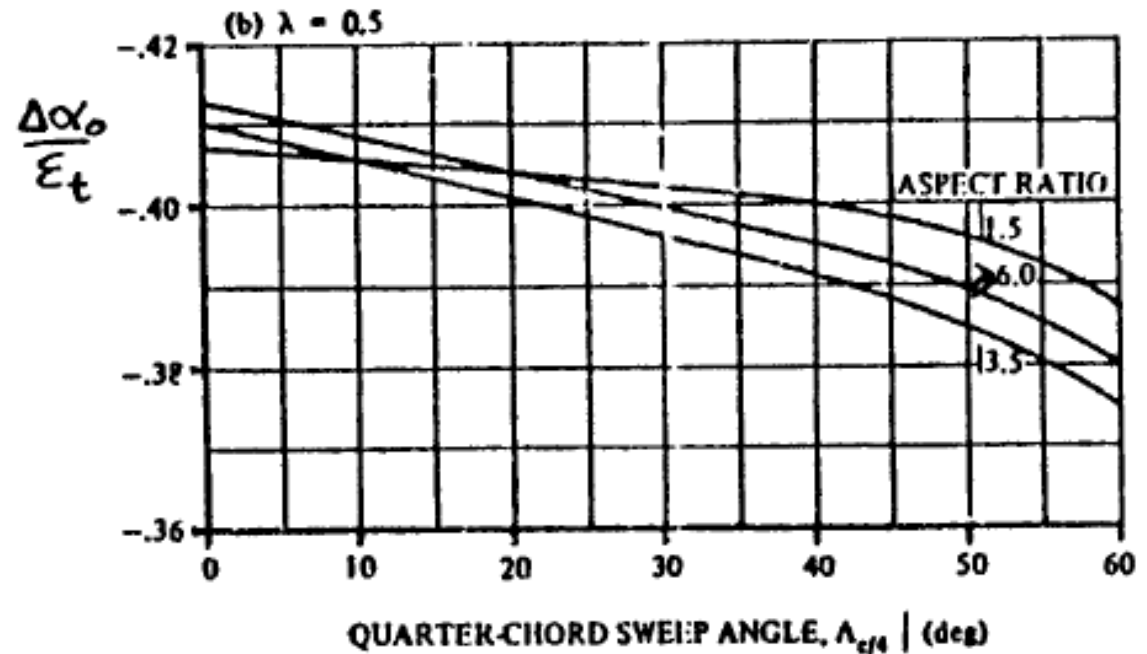
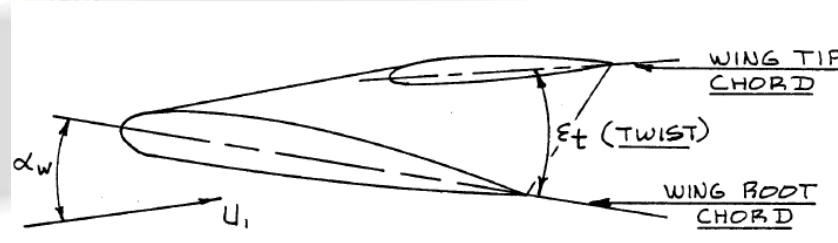
Proprietà aerodinamiche

Alfa zero LIFT

Ulteriore effetto della freccia.

*La freccia va a modificare
l'effetto del twist*

$$\alpha_{0L} = \alpha_{0l} + \frac{\Delta\alpha_0}{\epsilon_T} \epsilon_T$$



Proprietà aerodinamiche

X_{ac}

E' una funzione di:

- AR
- rastremazione
- freccia
- Mach

Si vede che l'effetto combinato di freccia e rastremazione, per valori di $AR > 7-8$ porta il centro aerodinamico intorno al 30% della CMA

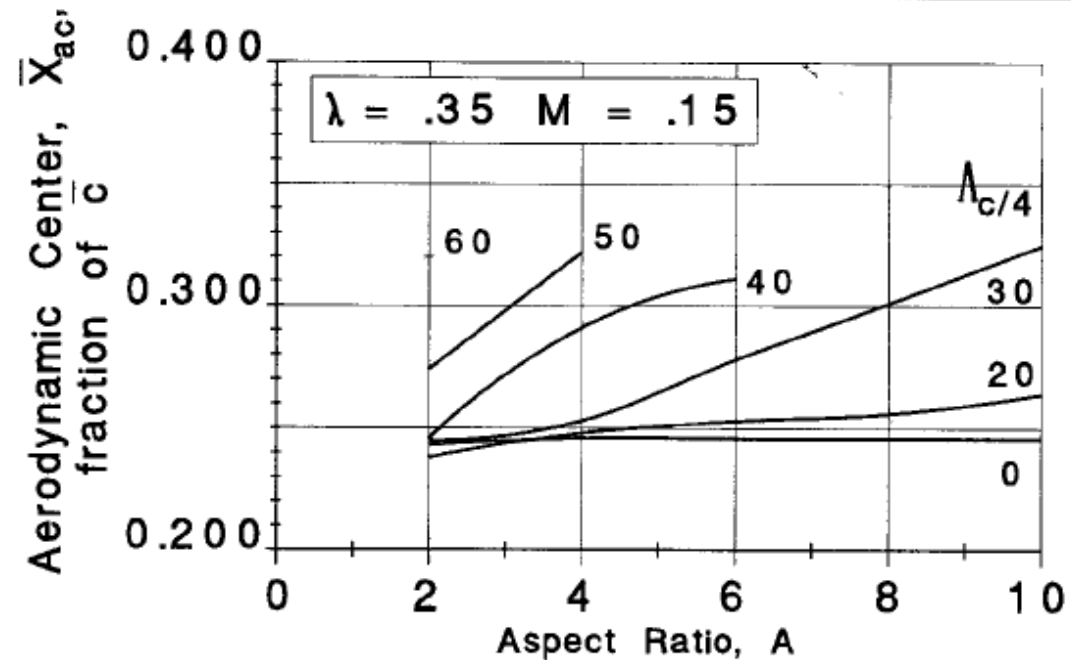
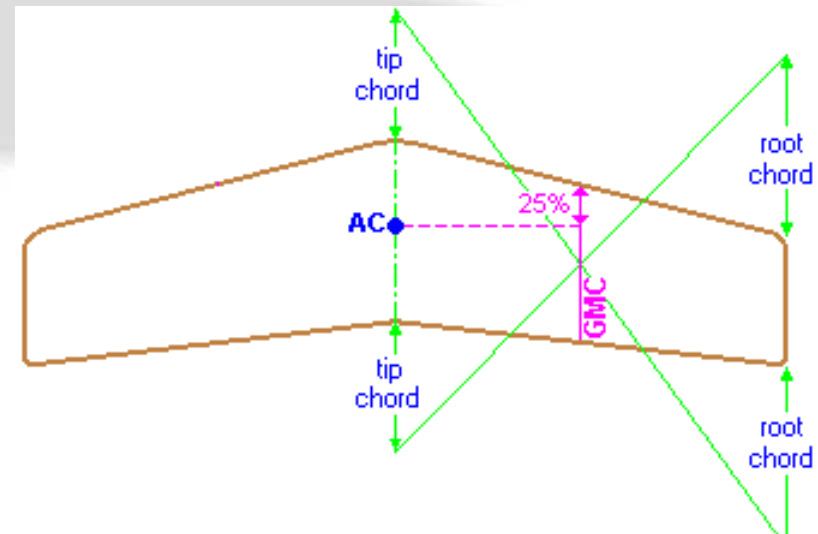


Figure 2.9 Effect of Planform Geometry on Aerodynamic Center (Subsonic)

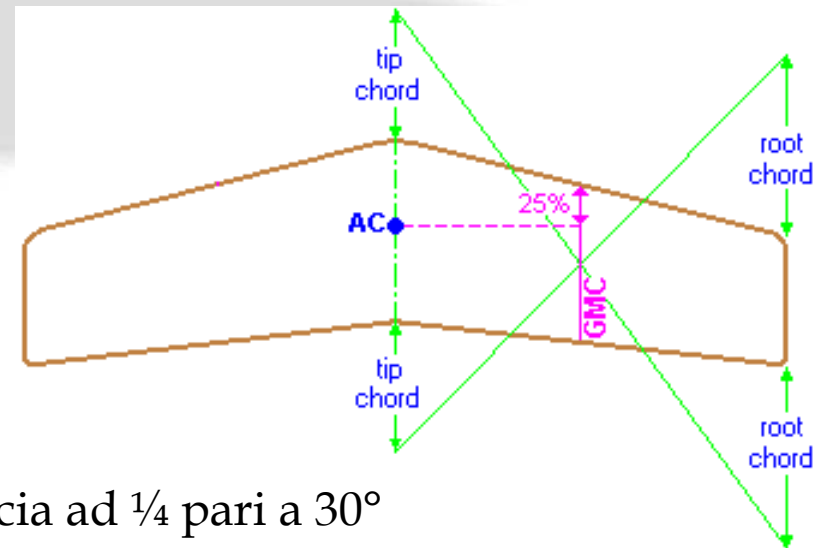


Proprietà aerodinamiche

X_{ac}

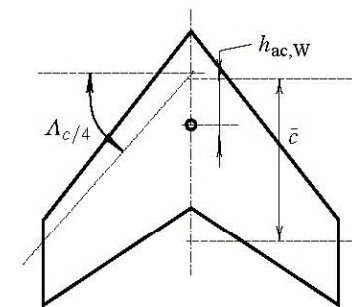
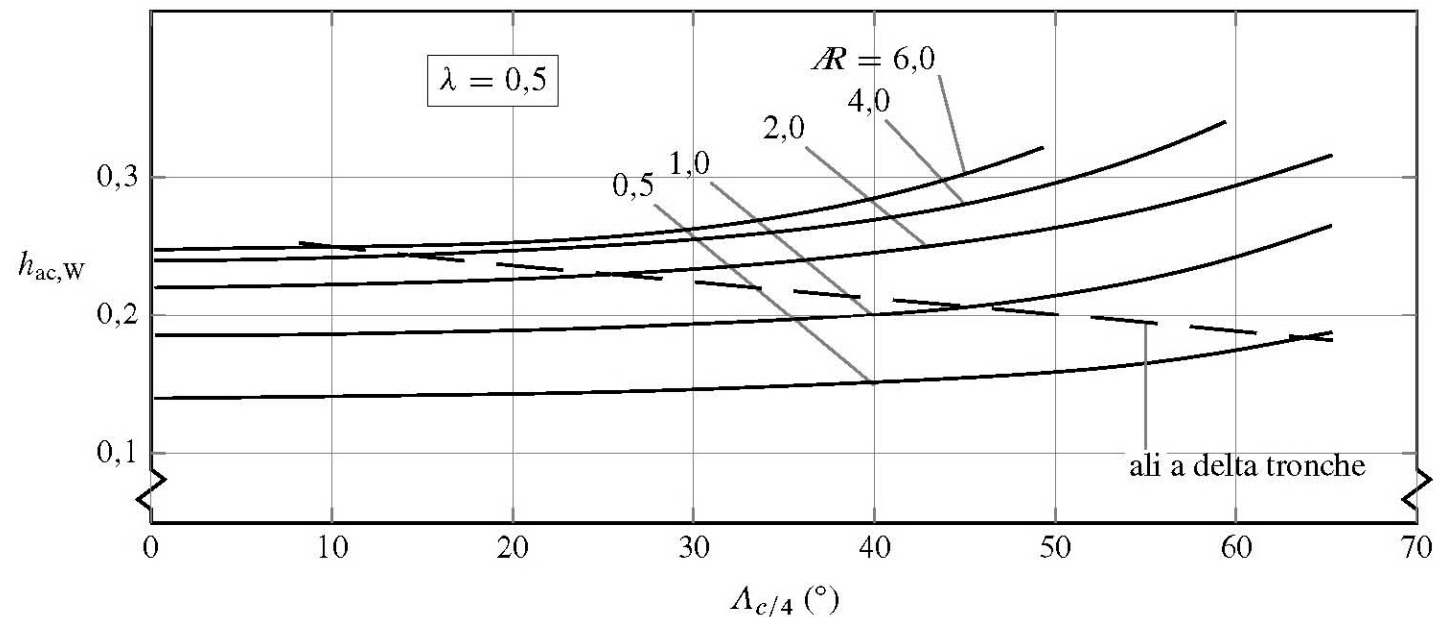
E' una funzione di:

- AR
- rastremazione
- freccia
- Mach



Ala con rastremaz pari a 0.5 e AR=8 e freccia ad $\frac{1}{4}$ pari a 30°

$\Rightarrow X_{ac} = \text{circa } 28\% \text{ della CMA}$



Proprietà aerodinamiche

C_{Mac}

Stessa funzione del C_m a zero lift
per I profili

SOMMA di due contributi

$CM1$: dovuto al carico basico
(svergolamento)

$CM2$: dovuto all'integrale dei C_{m_ac} locali

$$M_1 = 2 \int_0^{b/2} (x - \bar{x}) l_b dy = 2 \int_0^{b/2} x l_b dy$$

$$\begin{aligned} C_{m_1} &= \frac{2}{q S \bar{c}} \int_0^{b/2} x C_{l_b} q c dy \\ &= \frac{2}{S \bar{c}} \int_0^{b/2} C_{l_b} x c dy \end{aligned}$$

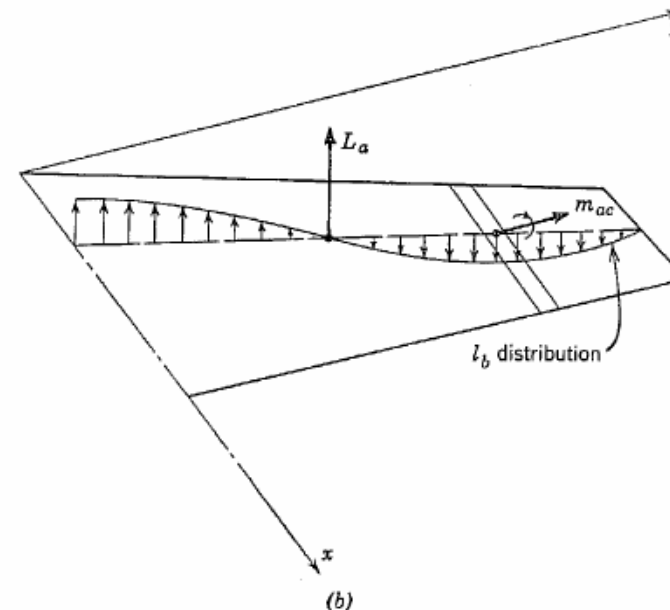
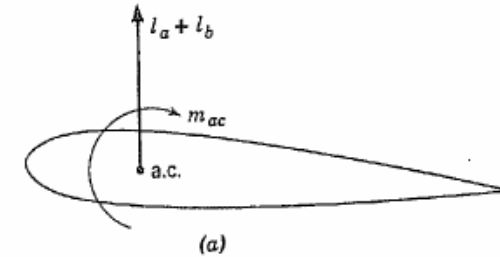


Fig. D.6. (a) Section total load. (b) Wing loads.



Proprietà aerodinamiche

C_{Mac}

Stessa funzione del C_m a zero lift
per I profili

SOMMA di due contributi

CM_1 : dovuto al carico basico
(svergolamento)

CM_2 : dovuto all'integrale dei $C_{m_{ac}}$ locali

$$C_{m_2} = \frac{2}{S\bar{c}} \int_0^{b/2} C_{m_{ac}} c^2 dy$$

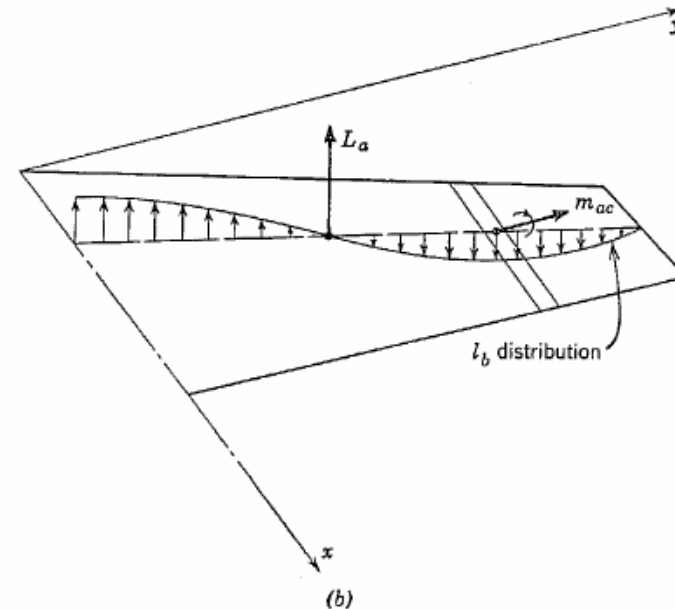
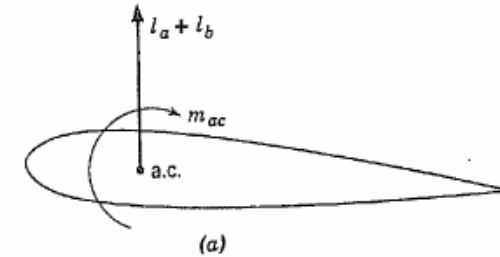
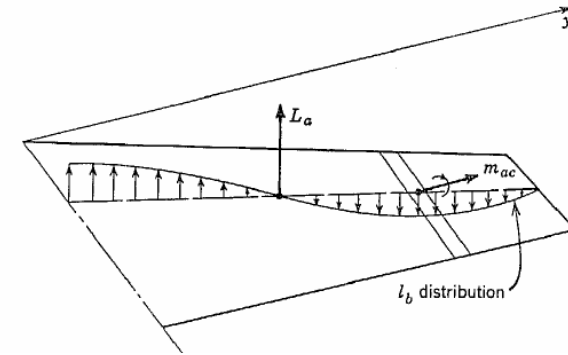


FIG. D.6. (a) Section total load. (b) Wing loads.



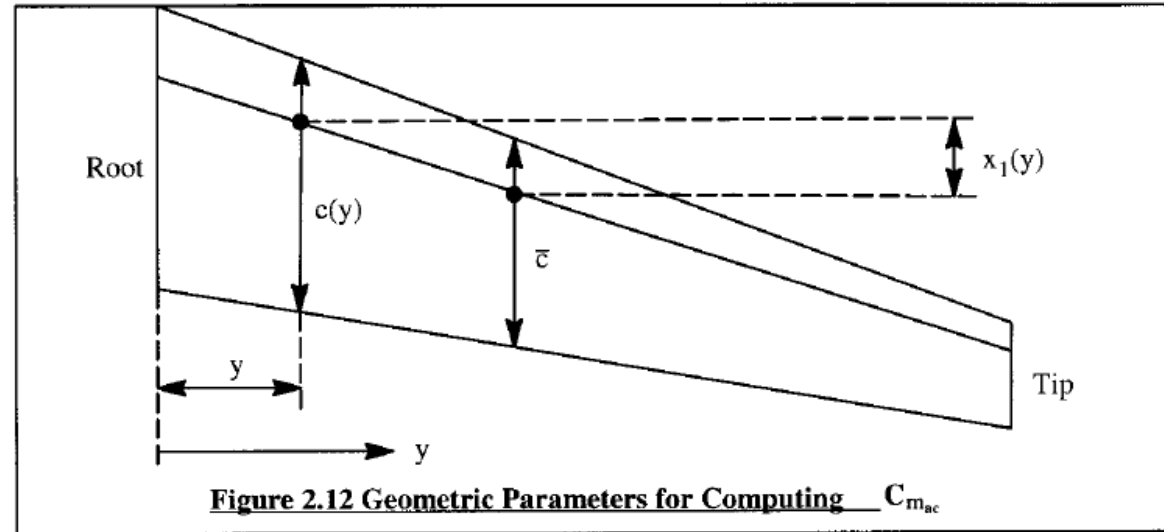
Proprietà aerodinamiche

C_{Mac}



**SE NON CONOSCO
IL CARICO BASICO :**

**FORMULA APPROSSIMATA
PROPOSTA SU ROSKAM :**



$CM2$

$CM1$

$$C_{m_{ac}} = \frac{1}{S\bar{c}} \left[\int_{-b/2}^{b/2} [c_{m_{ac}}(y)c(y)^2]dy + \pi \int_{-b/2}^{b/2} [\alpha_{0_L} + \epsilon_T(y) - \alpha_0(y)]c(y)x_1(y)dy \right]$$

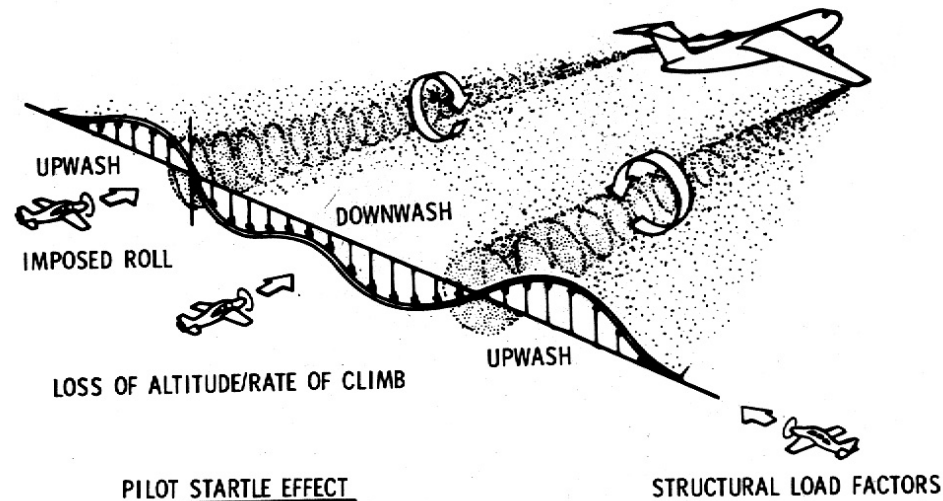


Proprietà aerodinamiche

DOWNWASH

$$\varepsilon_{ala} = \frac{C_L}{\pi AR}$$

$$\varepsilon_{\infty} = 2 \frac{C_L}{\pi AR}$$



$$C_{Di} \cong C_L \alpha_i \cong \frac{C_L^2}{\pi AR} \Rightarrow \alpha_i \cong \frac{C_L}{\pi AR}$$

E' importante la derivata rispetto ad alfa.

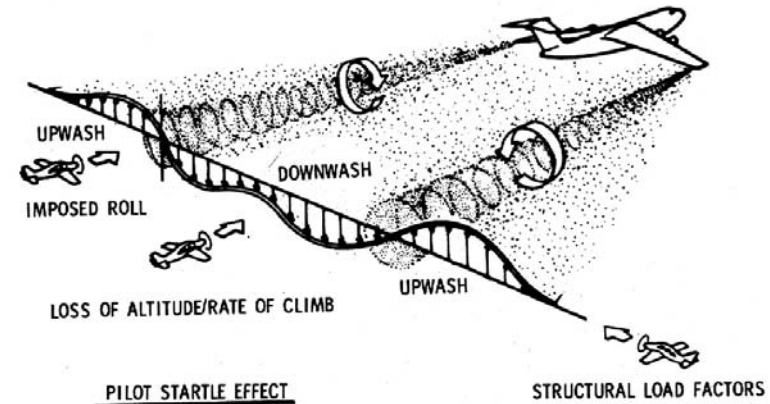
Ad $\alpha = \alpha_{0L}$ ε sarebbe nullo, ma c'è l'effetto della Distribuzione di carico basico che provoca un certo ε



DOWNWASH

$$\varepsilon_{ala} = \frac{C_L}{\pi AR}$$

$$\varepsilon_{\infty} = 2 \frac{C_L}{\pi AR}$$



Derivata rispetto ad alfa.

Ad $\alpha = \alpha_{0L}$ ε sarebbe nullo, ma c'è l'effetto della Distribuzione di carico basico che provoca un certo ε

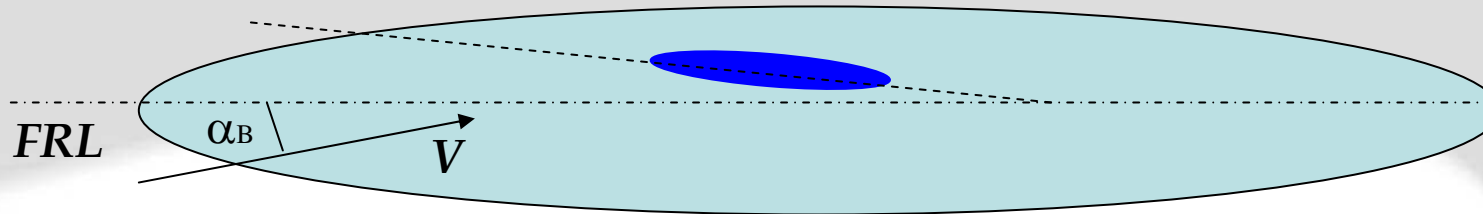
L'effetto è piccolo e viene trascurato, cioè $\varepsilon_0 = 0$

$$\varepsilon = \varepsilon_0 + \frac{d\varepsilon}{d\alpha} (\alpha - \alpha_{ZL}) \quad \frac{d\varepsilon}{d\alpha} = 2 \frac{C_{L\alpha}}{\pi \cdot AR \cdot e_w}$$

Tiene conto sempre del fattore $(1+\delta)$



PROPR AER ALA



*Se riferiamo tutto ad un alfa pari ad alfa_body
Con i_w indichiamo il calettamento dell'ala sulla FRL
(Fuselage Reference Line)*

$$\varepsilon = \frac{d\varepsilon}{d\alpha} (\alpha_B + i_w - \alpha_{ZL})$$

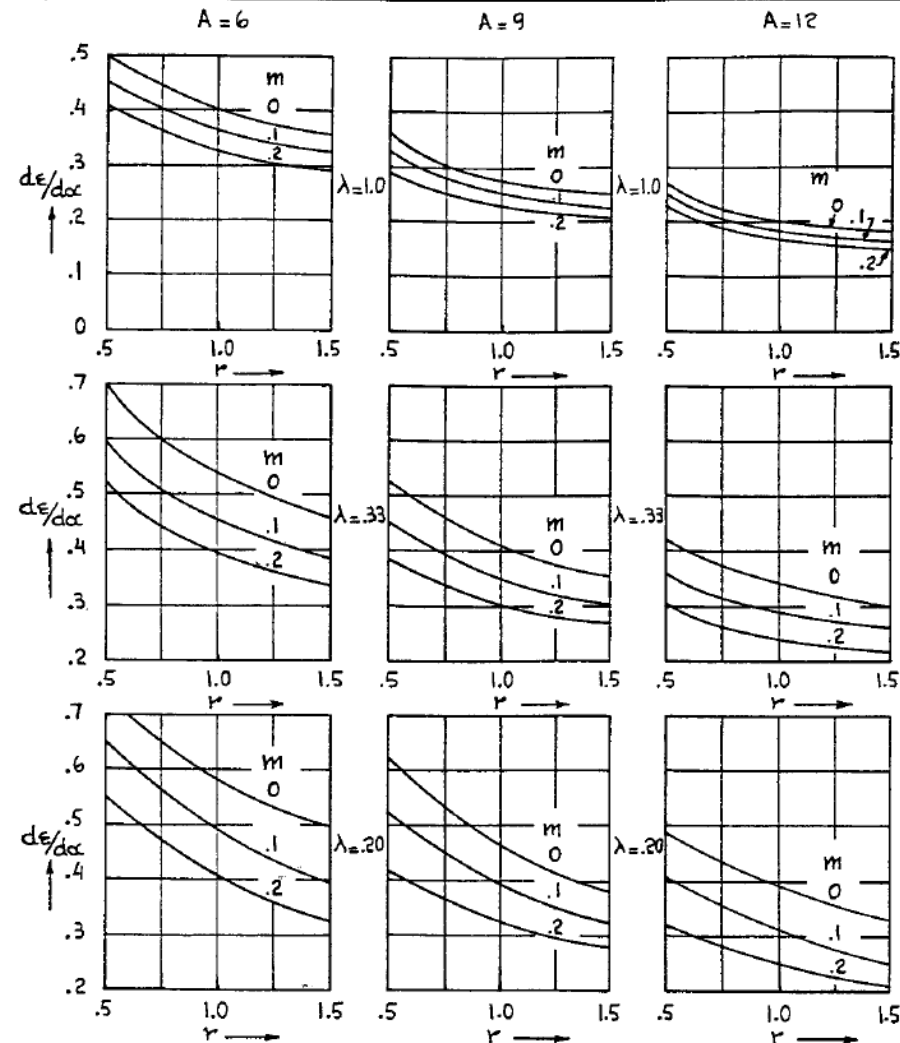
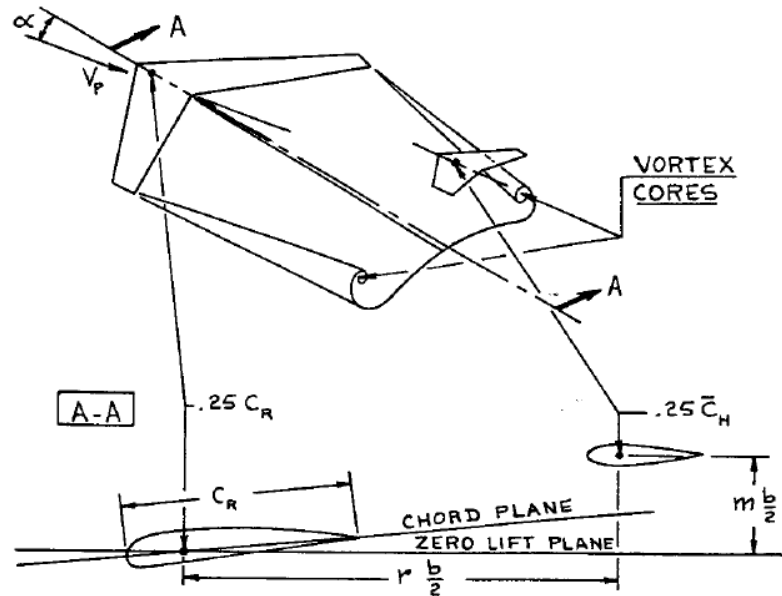
$$\frac{d\varepsilon}{d\alpha} = 2 \frac{C_{L\alpha}}{\pi \cdot AR \cdot e_i}$$

O anche, indicando questa volta il pedice 0 come alfa_body = 0 :

$$\varepsilon = \varepsilon_0 + \frac{d\varepsilon}{d\alpha} \alpha_B \quad \text{con} \quad \varepsilon_0 = \frac{d\varepsilon}{d\alpha} (i_w - \alpha_{ZL}) \quad \text{e} \quad CL_0 = CL_\alpha (i_w - \alpha_{ZL})$$

DOWNWASH

STIMA accurata del $d\epsilon/d\alpha$



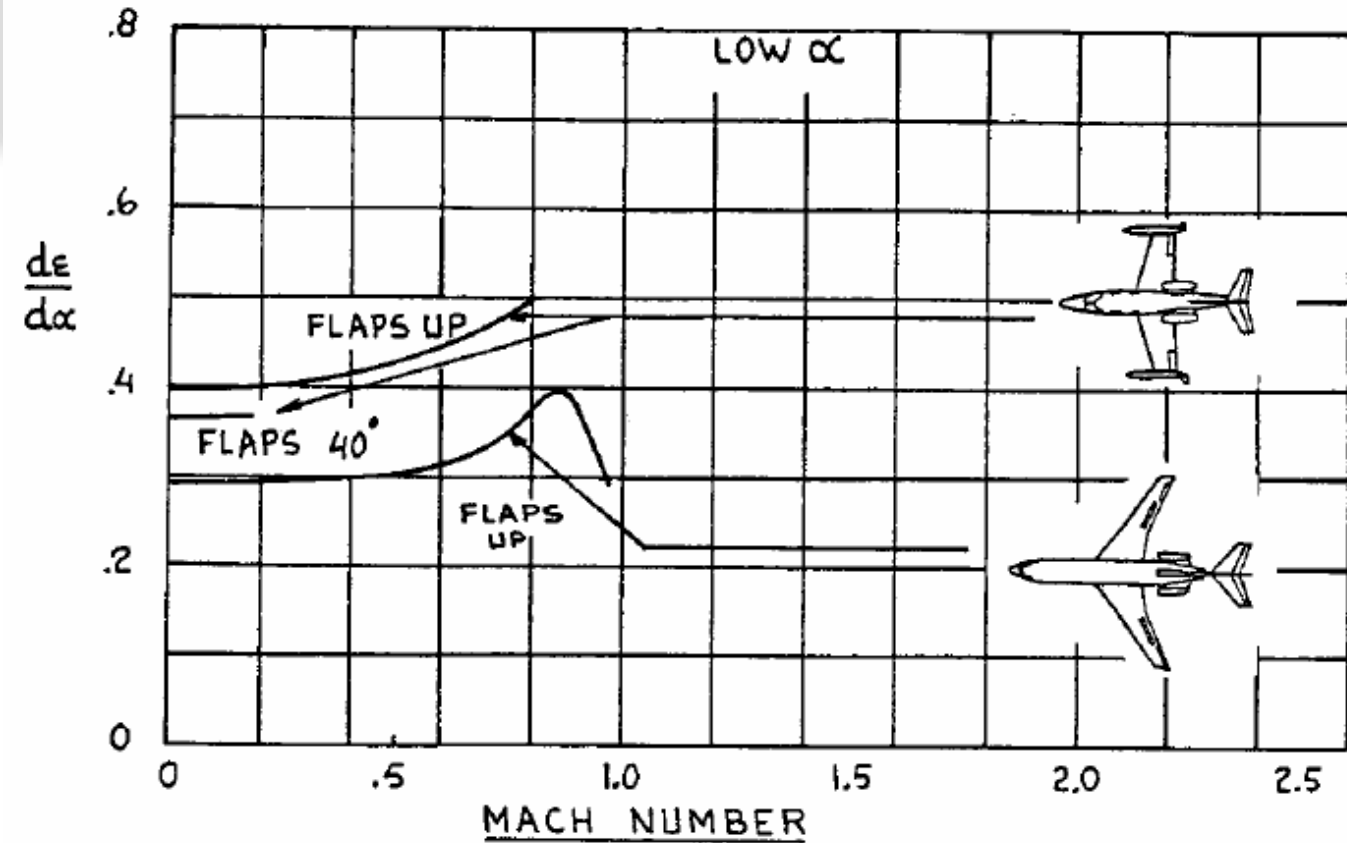
- Notes: 1. Valid only for straight, tapered wings at low Mach Numbers
 2. For other aspect ratios, interpolate or extrapolate
 3. See Part VI of Reference 2.3 for a more general method

$$m = \frac{\text{Vertical distance of horizontal tail } 0.25\bar{c}_h \text{ above/below the wing zero lift line}}{b/2}$$

$$r = \frac{\text{Longitudinal distance of } 0.25c_r \text{ toward the horizontal tail } 0.25\bar{c}_h \text{ location}}{b/2}$$



DOWNWASH



$$\frac{d\varepsilon}{d\alpha_M} = \frac{\frac{d\varepsilon}{d\alpha_{M=0}}}{\sqrt{1-M^2}}$$



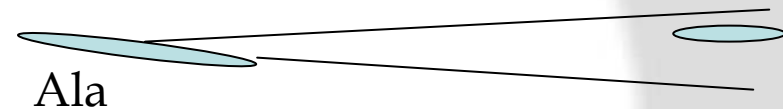
PRESS DINAMICA IN CODA

La pressione dinamica in coda q_H è minore solitamente della pressione dinamica a monte q_{∞} .

La pressione dinamica è tanto minore quanto più il piano è immerso nella scia dell'ala in presenza di flusso separato (alte incidenze)

Il rapporto viene indicato con

$$\eta_H = \frac{q_H}{q_{\infty}}$$



Vale 1.0 o 0.98 se è lontano, ma, nei casi in cui è immerso in scia e c'è flusso separato vale anche 0.80

Anche per il piano di coda verticale : $\eta_V = \frac{q_V}{q_{\infty}}$

